

Seismische Registrirungen in Göttingen, Juli bis December 1903.

Von

Dr. G. v. d. Borne.

Vorgelegt in der Sitzung vom 23. Juli 1904 von Herrn E. Wiechert.

Die vorliegende Zusammenstellung enthält die Verarbeitung der Seismogramme, welche im Göttinger geophysikalischen Institute im 2. Halbjahr 1903 gewonnen wurden; in dauernder Thätigkeit befand sich während dieser Zeit nur ein astatisches 1200 kg-Pendel nach Wiechert und demgemäß fanden auch nur dessen Aufzeichnungen Berücksichtigung. Es konnten dabei erhebliche Vorarbeiten benutzt werden, welche die Assistenten des Institutes, Herr Dr. Lincke und besonders Herr Schering ausgeführt hatten.

Die Bestimmung des Ganges der Uhr, welche die Zeitsignale liefert, ist bis zum October von Herrn Lincke, später von Herrn Schering ausgeführt worden.

In den Tabellen wurden von mir nach Besprechung mit Herrn Prof. Wiechert die folgenden Signaturen benutzt:

Für die Bezeichnung des Charakters der einzelnen Beben:

v = *Terrae motus vicinus* = Nahbeben (Heerd weniger als 1000 km entfernt)

r = " *remotus* = Fernbeben (Heerd 1000–5000 km entfernt)

u = " *ultimoremotus* = Sehr fernes Beben (Heerd über 5000 km entfernt).

Der Stärkegrad der Beben wurde wie folgt gekennzeichnet:

Beben, welche eben merklich, durch I,
solche die auffallend sind, durch II,
sehr auffallende durch III.

Ließ sich der „Charakter“ eines Bebens nicht feststellen, so erhielt dasselbe nur eine „Gradnummer“.

Für die einzelnen Phasen benutze ich folgende Signaturen:

P = undae primae = erste Vorläufer

S = „ secundae = zweite Vorläufer

L = „ longae = Hauptbeben

M = „ maxima e = Größte Bewegung während des Hauptbebens und zwar

M_N = in der Nordsüdcomponente

M_E = in der Ostwestcomponente.

C = coda = der Schluß des Bebens.

F = „ finis = Erlöschen der sichtbaren Bewegung.

Es werden zwei Arten des Beginns einer seismischen Bewegung überhaupt oder einer Erdbebenphase unterschieden:

I = impetus = „Einsatz“ = plötzlicher Beginn.

E = emersio = „Auftauchen,“ = langsames Anwachsen der Amplitude von unmerklich kleinen zu merklichen Größen.

Durch zweckentsprechende Verwendung dieser beiden „Anfangssiegel“ teils allein, teils in Verbindung mit den „Phasensiegeln“ ließen sich alle Beben in den Tabellen kurz schildern, darunter auch solche, bei denen die übliche schematische Einteilung unmöglich war.

Unter *T* ist die Periode (doppelte Schwingungszeit) der Erdbebenwellen in Sekunden (") verzeichnet, unter *A_N* und unter *A_E* die Amplituden in der Nord-Süd- bezüglich der Ost-West-Componente, gerechnet von einer Seite zur andern; als Maßeinheit für diese wurde das „Mikron“ ("") = 0,001 mm benutzt.

Entsprechend den Verhandlungen der 2. internationalen seismologischen Conferenz (1903) wurden die Zeitangaben in mittlerer Greenwicher Zeit gemacht, und zwar gezählt von Mitternacht zu Mitternacht.

Erscheinen Einzelheiten unsicher, so sind dieselben in Klammern () gesetzt.

Bei einer Anzahl von Beben ließen sich mehr oder minder sichere Vermutungen über den Ort des Heerdes machen, da sie zeitlich mit gefühlten Beben zusammenfielen. Die Anwendung der von Laska¹⁾ gegebenen Anweisung zur Berechnung der Entfer-

1) W. Laska, Über die Berechnung der Fernbeben, Nr. XIV der neuen Folge der Mitte, drr Erdbeben Kommission der K. u. k. Akademie d. Wissenschaften in Wien, Wien 1903 und Sieberg, Handbuch der Erdbebenkunde, Aachen 1904. Seite 295 ff.

nung des Epizentrums führte in den meisten Fällen zu übereinstimmenden Ergebnissen.

Es wurden dabei die folgenden Bezeichnungen gewählt:

Δ_0 für die Entfernung des gemeldeten Heerdes von Göttingen

Δ_1 für die nach Laskas Anweisung berechnete Entfernung.

Mikroseismische Pulsationen konnten an allen Tagen beobachtet werden. In der über dieselben gegebene Tabelle wurde die folgende Stärkeskala gebraucht.

Gradnummer	Durchschnittliche Maximalamplitude
I	0 ^u – 0,5 ^u
II	0,5 – 1 ^u
III	1, ^u – 2 ^u
IV	< 2 ^u

In zahlreichen Punkten ist die Deutung der Seismogramme, vor allem, wenn es auf eine kurze Charakterisierung ankommt, sehr abhängig von dem persönlichen Ermessen des Bearbeiters. Dies gilt in erster Linie für die Feststellung der Periodenlänge in dem meist großen Gewirre der Bewegungen, sodann für die Ermittelung der Amplituden, vielfach aber auch für die Beurteilung der einzelnen Phasen eines Erdbebens. Sie ist deshalb nicht frei von Willkür und aller Voraussicht nach auch nicht frei von Fehlern in den Einzelheiten.

Eine Zusammenstellung nach Art der folgenden wird also nicht mehr bieten können, als eine erste oberflächliche Orientierung über die reiche Mannigfaltigkeit der Einzelheiten, welche die Diagramme zeigen.

Auf der beigegebenen Tafel sind Teile einiger besonders interessanter Diagramme wiedergegeben und zwar

in fig. 1: Anfangsteil von Beben No. 6 Juli 11. erste Minutenmarke = 12^h 22^m 58^s

in fig. 2: Sinuswelle aus C von Beben No. 14, Juli 27; erste Minutenmarke = 11^h 4^m 44^s

in fig. 3: Anfangsteil von Beben No. 11, August 11; erste Minutenmarke = 4^h 36^m 22^s

in fig. 4: Anfangsteil von Beben No. 12, August 13; erste Minutenmarke 16^h 58^m 24^s

in fig. 5: Pulsationen vom December 8. Ausschnitt aus dem Diagramm zwischen 3^h und 8^h.

1903 Juli.

Nummer	Datum	Charakter	Phasen	Zeiten (Greenwich)	Perioden T	Amplituden		Dauer	Bemerkungen
						A_E	A_N		
1	9	I	E	23 ^h (38,5) ^m	6 ^s	(0,4) ^u	?		Einsatz einer Wellenbewegung, in NS fast unmerklich. Erdbeben? oder Pulsation?
2	10	I _v	E(P)	5 ^h (18,2) ^m	3 ^s	(0,2) ^u	(0,2) ^u		Deutliche Kräuselung der Diagrammlinie in beiden Komponenten während etwa 2 ^m .
3	10	I(u)	E	6 ^h (31,8) ^m	15 ^s	(2,0) ^u	?		Einige lange Wellen, in NS kaum merklich.
	10		E F	9 ^h 10 ^h					Das in Straßburg und Hamburg registrierte Beben lässt sich aus den Pulsationen nicht herausheben. Mehrfach heben sich aus diesen undeutlichen längeren Wellenzügen ab, so z. B. 9h 40m.
4	11	I(u)	E	5 ^h (45) ^m	7 ^s	1 ^u	1 ^u		Einige Wellenzüge.
5	11	I u	E	12 ^h (21) ^m	20 ^s	3 ^u	3 ^u		Einige Wellenzüge, im weiteren Verlauf durch das folgende Beben überlagert und verdeckt.

1903 Juli.

444

G. v. d. Borne,

Nummer	Datum	Charakter	Phasen	Zeiten (Greenwich)	Perioden T	Amplituden		Dauer	Bemerkungen
						A_x	A_y		
6	11	II r	$J(P_1)$ $J(P_2)$ $J(S_1)$ $J(S_2)$ EL	$12^h 23,6^m$ $24,0^m$ $27,4^m$ $27,8^m$ $32,5^m$	2^s 4^s $\{$ 15^s 5^s 15^s $18^s; 4^s; 8^s$	$0,4^u$ $3,2^u$ 5^u $0,4^u$ 15^u	$JP_1 - P_2 = JS_1 - S_2 = 24^s$ $P - S \quad 3^m \quad 37^s$ $JP - L = 8,9^m$	Vormittags Beben in Cerigo. Die Zwillingsseismärsche machen das Diagramm demjenigen des Gerigobebens August 11 ähnlich. Aus der Dauer $P - S$ berechnet sich die Entfernung des Epizentrums nach Laska's Tabelle auf 2800 km aus $J(P_1) - L$ auf 3300 km während die Entfernung Cerigo-Göttingen ca 2100 km beträgt.	
M									
C									
F									
7	12	II u	$J(P)$ EL	$5^h (36,5)^m$ $6^h (20)^m$ $(26,4)^m$	$-$ 30^s 24^s $\{ 24^s; 21^s$ $\{ 15^s; 12^s; 2^s$	$-$ 18^u 30^u	24^u 23^u	$JP - F = (120)^m$	Das Ueberwiegen der N.S-Componente in den mittleren Teilen des Diagramms ist sehr auffällig. $5^h (36,5)^m$, ganz leichte Kräusung der Diagonallinie, besonders schwach in NS.
M									
C									
F									
8	13		E	$7^h (36)^m$ $1^h (25,3)$ $2^h (6)$	20^s 24^s	$0,5^u$ 17^u	$(0,5)^u$ $(7)^u$	Starkes Ueberwiegen der Ost-Westkomponente.	
			F						

1903 Juli.

Nummer Datum	Charakter	Phasen	Zeiten (Greenwich)	Perioden T	Amplituden		Dauer	Bemerkungen
					A_E	A_N		
9 16	I	E	(18 ^h 40 ^m)					
10 19	II v	JP ₁ J(P ₂) JS EL u. M	18 ^h 12,5 ^m 13,0 ^m 16,3 ^m (19,8) ^m	{ 5 ^s 1,5 ^s 4,5 ^s 4,5 ^s { 10 ^s 10 ^s 5 ^s ; 10 ^s	3,0 ^u sehr klein 1,2 ^u 4,0 ^u 9 ^u	2,0 ^u 0,8 ^u 3,2 ^u 3 ^u		
11 23	II u	J(P ₁) J(P ₂) EL u. M _E	22 ^h (49) ^m (55,8) ^m 23 ^h (22,0) ^m	{ 5 ^s 5 ^s 30 ^s 3 ^s 17,5 ^s 20 ^s ; 16 ^s	(0,2) ^u (,4) ^u 06 ^u 22 ^u 0, ^u 14	(0,2) ^u (0,10) ^u — — 13 ^u	$J(P_1) - L = (33)^m$ $J(P_2) - L = (26,8)^m$	P ₁ in NS. nicht merkbar, auch P ₂ in NS merklich schwächer als in EW.
		M _N C F	(25,0) ^m				$J(P_1) - E = (61)^m$	
			23 ^h (50) ^m					

1903 Juli.

446

G. v. d. Borne,

Nummer Datum	Charakter	Phasen	Zeiten (Greenwich)	Perioden T	Amplituden		Dauer	Bemerkungen
					A_E	A_N		
12 27	Iv	J J (L u. M) F	0 ^h 35,0 ^m 35,6 ^m 37,8 ^m 50 ^m	3 ^s 5 ^s 8 ^s	1,2 ^u 1,2 ^u 1,5 ^u	0,8 ^u 0,8 ^u nicht messbar	$\frac{JP-L}{JP-F} = 165^s$ $\frac{JP-L}{JP-F} = (15)^m$	{ Einsätze P oder S.
13 27	IIv-r	$J(P \text{ od. } S_1)$ $J(S_2)$	3 ^h 48,4 ^m 50,0 ^m	nicht meßbar	0,2 ^u 0,4 ^u 1 ^u	nicht messbar 1,2 ^u 2 ^u —	$\frac{JP-L}{JP-F} = 140^s$ $\frac{JP-L}{JP-F} = 7^m$	3 ^h / ₄ Erdbeben in Ligurien. Entfernung etwa 1050 km; P viel. leicht früher.
				{ 1 ^s 2 ^s 3 ^s 6 ^s	1 ^u 1 ^u 1 ^u 4,5 ^u 0,3 ^u			
				{ 12 ^s 2,5 ^s 12 ^s ; 8 ^s ; 2,5 ^s				
		C						
		F						
14 27	Iu	$J(P)$ $J(S)$ L M _N M _E C F	10 ^h 46,0 ^m 55,4 ^m 11 ^h 2,2 ^m 5,0 ^m 9,8 ^m (39) ^m	6 ^s 10 ^s 12 ^s 17,5 ^s 20 ^s 15 ^s	0,3 ^u 1,4 ^u 2,0 ^u 12 ^u 12 ^u 8 ^u	nicht messbar 20 ^u 10 ^u 4 ^u	$\frac{JP-S}{JP-L} = 9,4^m$ $\frac{JP-P}{JP-F} = 16,2^m$ $\frac{JP-P}{JP-F} = (53)^m$	In C ganz regelmäßige Sinus. wellen; besonders schön in E.W.

1903 Juli.

Nummer	Datum	Charakter	Phasen	Zeiten (Greenwich)		Perioden T	Amplituden		Dauer	Bemerkungen
				E	M _N M _F F		A_x	A_y		
15	27	I u	E	12 ^h (48,0) ^m 59,3 ^m		21 ^s 21 ^s 21 ^s	merklich 2 ^u 9 ^u	ganz schwach 10 ^u 2 ^u		Sehr auffallend ist der Wechsel des Azimuthes der größten Ver- rückung, welcher im Verlauf der Bewegung öfters hervortritt.
16	28	I u	E M F	13 ^h 7,6 ^m (28) ^m		4 ^u (7) ^m 39,3 ^m	20 ^s 20 ^s	5 ^u 5 ^u	1 ^u 10 ^u	

1903 August.

Nummer	Datum	Charakter	Phasen	Zeiten (Greenwich)		Perioden T	Amplituden		Dauer	Bemerkungen
				E	M _N M _F F		A_x	A_y		
1	1	I (v)	E	23 ^h 56 ^m		4 ^s				
2	2/3	I u	J(P ₁) J(P ₂) E(L) M _E M _N C	23 ^h 13 ^m 20 ^s 16 ^m 30 ^s 37 ^m 10 ^s 40 ^m 46 ^m		5 ^s 5 ^s 45 ^s 36 ^s 16 ^s 36 ^s , 27 ^s 16 ^s	0,4 ^u sehr klein 10 ^u 35 ^u 5 ^u 8 ^u	0,8 ^u 0,4 ^u 10 ^u 20 ^u 8 ^u		Von 23 ^h 56 ^m ab schwache Kräuselung der Diagrammlinie in beiden Componenten, besonders deutlich in NS. Mehrfach auffallende Drehung des Azimuth der größten Ver- rückung! $J(P_1) - F = (26^m 40^s$ $J(P_1) - F = (82)^m$

1903 August.

Nummer Datum	Charakter	Phasen	Zeiten (Greenwich)	Perioden T	Amplituden		Dauer	Bemerkungen
					A_x	A_y		
3 3 I u	J(P)	7 ^h	4 ^m 50 ^s	{ (2) ^s 4 ^s	(0,3) ^u ?	(0,3) ^u 1 ^u	$J(F) - L = (25^m 10^s)$ $J(P) - F = (55)^m$	
	E(L) M	(30) ^m 34 ^m	14 ^s	14 ^s	nicht meßbar	2 ^u		
	F	(0) ^m	8 ^h	4 ^u				
4 6 I r	JP	0 ^h	16 ^m 40 ^s	5 ^s	0,8 ^u	0,3 ^u	$J(P) - EL = 4^m 44^s$	
	E(L) M	(24) ^m 27 ^m	24 ^s	20 ^s	ganz	schwach		
	F	0 ^h (48) ^m	0 ^h	14 ^u	7 ^u			
5 6 II r	JP	3 ^h	53 ^m 31 ^s	3,5 ^s	2,4 ^u	1 ^u		Gegen $\frac{3}{4}$ Erdbeben in Sizilien (Gegend von Catania) $d_0 = 1800$ km. $d_c = 1600$ km. Zwischen M ₁ und M ₂ nimmt die Bewegung stark ab, um dann wieder schnell zu wachsen (2 Stöße?)
	EL u. M ₁	58 ^m 15 ^s		{ 20 ^s 8 ^s	25 ^u 2 ^u	10 ^u 1 ^u		
	M ₂			{ 5 ^s 20 ^s	sehr klein			
6 6 I u	C			{ 3 ^s 12 ^s ; 5 ^s ; 2 ^s	25 ^u 0,8 ^u	14 ^u 1 ^u	$J(P) - F = (34)^m$	
	F	4 ^h (27) ^m		8 ^s				
	E	6 ^h 55 ^m		1,5 ^u		sehr klein		
6 6 I u	F	7 ^h						
	E							
	F							

1903 August.

Datum Nummer	Charakter	Phasen	Zeiten (Greenwich)	Perioden	Amplituden		Dauer	Bemerkungen
					A_x	A_y		
7 8	I	M F	17 ^h 51 ^m 18 ^h (3) ^m	16,5 ^s	3 ^u	3,0 ^u		
8 9	Ir	E M	17 ^h 25 ^m 33 ^m	20 ^s 20	10 ^u	sehr klein		
9 9	Iu	J(P) EL u. M C	22 ^h 51 ^m 0 ^s 56 ^m 50 ^s	3 ^s 12 ^s 20 ^s ; 12 ^s 6 ^s ; (3) ^s	0,2 ^u 4 ^u	0,4 ^u 2 ^u	JP - EL = 5 ^m 50 ^s JP - F = 19 ^m	Gegen 22h Erdbeben in Lissabon. $\Delta_0 = 2100$ km; $\Delta_c = 2000$ km.
10 10	Ir	J(P) M F	12 ^h 44 ^m (0) ^s 48 ^m 20 ^s	6 ^s 6 ^s	0,3 ^u 1 ^u	1 ^u 2 ^u		
10 10			13 ^h (0) ^m					
11 11	III v	JP ₁ JP ₂ J(S) E	4 ^h 36 ^m 59 ^s 37 ^m 30 ^s 40 ^m 10 ^s 40 ^m (40) ^s	6 ^s 2 ^s 6 ^s 2 ^s 6 ^s 2 ^s 6 ^s 2 ^s	20 ^u 8 ^u 150 ^u 8 ^u 18 ^u 2 ^u 100 ^u 8 ^u	21 ^u 8 ^u 150 ^u 8 ^u 24 ^u 8 ^u 230 ^u 8 ^u	JP ₁ - JS = 3 ^m 11 ^s	Gegen 4 ^{1/2} h Beben in Südgriechenland, Maximum in Cerigo. $\Delta_0 = 2100$ km, $\Delta_c = 2200$ km. Das Diagramm weicht durchaus von dem Schema ab. Die größte Amplitude findet sich in NS schon bei Einsatz „P“ in EW etwa $1/2$ Minute nach Einsatz „S“. Es nimmt dann die Bewegung schnell ab, so daß zu der Zeit, welche

1903 August.

450

G. v. d. Borne,

Nummer Datum	Charakter	Phasen	Zeiten (Greenwich)	Perioden T	Amplituden		Dauer	Bemerkungen
					A_E	A_N		
12 13	II u	C F	5 ^h (48) ^m	20 ; 13 ^s ; 6 ^s , 10 ^s			$JP_1 - F = (71)^m$	der Hauptphase entspricht die Amplituden erheblich kleiner sind als vorher. (4h 49m wurden z. B. gemessen $T = 20s$ $A_N = 60^u$, $A_E = 100^u$ $\approx 12^u$). Unter den für den weiteren Verlauf des Bebens angeführten Perioden tritt die mit 13s besonders deutlich hervor.
13 16	I (u)	E M F	3 ^h (45) ^m 4 ^h 0 ^m	2 ^s 7,5 ^s 36 ^s 22,5 ^s 15 ^s	0,8 ^u 1,6 ^u 25 ^u 40 ^u 25 ^u	JP-S = 9 ^m 50 ^s JP-L = 27 ^m (0) ^s	$JP - F = (135)^m$	15 ^{3/4} Erdbeben auf Kiuschiu (Japan). Entfernung: 9200 km. Nach Laskas Tabelle findet sich ein Abstand d , unter Benutzung von: $P - S$; $d_c = 8900$ km. $P - L$; $d_c = (9000)$ km.
14 16	I u	J(P) J(S) E(L) M _E M _N F	13 ^h 51 ^m 12 ^s 14 ^h 0 ^m 18 ^s	2,5 ^s 5 ^s 2,5 ^s 20 ^s 15 ^s	0,8 ^u 1 ^u sehr klein 10 ^u 10 ^u	$JP - S = 9^m 6^s$ $JP - L = 25^m (18)^s$	$JP - F = (64)^m$	Aus den Pulsationen taucht ein Zug langer Wellen auf.
		(L) u. M ₁ M ₂ F	16 ^m (30) ^s 22 ^m 40 ^s 14 ^h (55) ^m		1 ^u 1 ^u 10 ^u 7 ^u			Erdbeben in Port au Prince (Haiti) 14 ^{1/2} h. Entfernung: 8200 km. Nach Laskas Tabelle be- rechnet man aus: $P - S$; $d_c = 8100$ km. $P - L$; $d_c = (8400)$ km. L vielleicht früher.

Nummer	Datum	Charakter	Phasen	Zeiten (Greenwich)	Perioden T	Amplituden		Dauer	Bemerkungen
						A_x	A_y		
15	16	I	E	16 ^h 45 ^m	{ 5 ^s 10 ^s	ganz klein	8 ^u		
			F	16 ^h 55 ^m		0,4 ^u	0,4 ^u		
16	17	IV	JP	7 ^h 48 ^m 21 ^s	{ 3 ^s 1,5 ^s 3 ^s 1 ^s	sehr klein	1 ^u		
			M	49 ^m 0 ^s		1 ^u	2 ^u		
17	17	IV	F	7 ^h 59 ^m		sehr klein	2 ^u		
			(JP)	9 ^h 0 ^m 41 ^s		sehr klein	1 ^u		
			M	1 ^m (1) ^s	{ 3 ^s 1,5 ^s 6 ^s 1 ^s	0,4 ^u	0,4 ^u		
			F	9 ^h 4 ^m 40 ^s		0,8 ^u	0,8 ^u		
18	19	Iu	E	10 ^h (0) ^m	20 ^s	sehr klein	1 ^u		
			M	(4) ^m	20 ^s	0,4 ^u	0,4 ^u		
			C	?	15 ^s	0,8 ^u	0,8 ^u		
			F			nicht merklich	nicht merklich		
19	29	Iu	J(P)	15 ^h 47 ^m 35 ^s	9 ^s	4 ^u	4 ^u		
			M	16 ^h 23 ^m (30) ^s	20 ^s	8 ^u	8 ^u		
			F	17 ^h (10) ^m					
20	30	I(u)	E	10 ^h 45 ^m	15 ^s	1 ^u	1 ^u		
									Unregelmäßige Wellen in EW.

1903 September.

Nummer Datum	Charakter	Phasen	Zeiten (Greenwich)	Perioden	Amplituden		Dauer	Bemerkungen
					A_E	A_N		
1 1 I u	EL u. M	E	15 ^h 22 ^m 49 ¹ / ₂ ^m	3,5 ^s 20 ^s (10) ^s	0,2 ^u 7 ^u	1 ^u 3 ^u	E - F = 68 ^m	
2 3 I u	EL u. M ₁ M ₂	E	16 ^h (30) ^m					
2 3 I u	EL u. M ₁ M ₂	E	6 ^h (25) ^m	ganz schwach, in EW etwas deutlicher als in NS. 23 ^s 18 ^s (14) ^s	12 ^u 8 ^u	10 ^u 15 ^u	E - F = 75 ^m .	Die letzten Stadien sind durch das folgende Beben überlagert.
3 3 I v	J		7 ^h (40) ^m					
3 3 I v	J		7 ^h 27 ^m 42 ^s	1,5 ^s	0,4 ^u (0,2) ^u	— 2,5 ^u		In EW einige unregelmäßige Wellen.
4 3 I	E		15 ^h 52 ^m	1,2 ^s	—	—		
5 7 I v	J (EL) (M)		7 ^h 34 ^m 15 ^s 37 ^m 37 ³ / ₄ ^m	5 ^s 6 ^s 5 ^s	2 ^u 3 ^u 5 ^u	4 ^u 5 ^u		Ende wegen der Überlagerung durch das folgende Beben nicht zu bestimmen.

1903 September.

Nummer Datum	Charakter	Phasen	Zeiten (Greenwich)	Perioden	Amplituden		Dauer	Bemerkungen
					A_E	A_N		
6 7	I u	E u. M _E	8 ^h (23) ^m	28 ^s 12 ^s 24 ^s 18 ^s , 15 ^s	20 ^u 8 ^u 20 ^u	10 ^u 3 ^u 20 ^u	E - F 67 ^m	
		M _N	29 ^m					
		C	9 ^h (30) ^m					
		F						
7 8	I	E	6 ^h (8) ^m	(25) ^s	8 ^u	—	E - F = 83 ^m	
		F	7 ^h (31) ^m					
8 10	I	E	11 ^h (31) ^m	24 ^s	8 ^u	—	E - F = 39 ^m	
		M	53 ^m	20 ^s	12 ^u	10 ^u		
		F	12 ^h (10) ^m					
9 12	I r	JP	23 ^h 10 ^m 46 ^s	2 ^s (6) ^s (6) ^s (3) ^s (9) ^s 5 ^s	2 ^u 4 ^u 6 ^u 3 ^u 6 ^u 3 ^u	4 ^u 6 ^u 6 ^u 3 ^u 3 ^u 3 ^u	JP - J(S) = 2 ^m 14 ^s J(P) - (EL) = (3 ^m 14 ^s)	
		J(S)	13 ^m 0 ^s					
		(EL)	(14) ^m					
		C	23 ^h (28) ^m					
		F						

Anfang wegen der Ueberlagerung durch das vorhergehende Beben unsicher. 7h 53m 15s in EW eine auffällige Welle, die vielleicht JP bezeichnet. Lange Wellen von etwa 0,5m Periode in EW von 8h 19,5m bemerkbar, in NS erst 1,8m später. Nimmt man das Mittel aus beiden als EL an, so ergiebt sich $\Delta_e = 9000$ km. $8\frac{1}{4}$ h Erdbeben in Formosa, $\Delta_0 = 9200$ km.

In NS nur zwischen 6h 25m und 6h 35m deutlich merkbar.

In NS nicht vor 11h 42m merkbar; Curven im allgemeinen sehr unruhig.

Lange Periode in L unsicher.

1903 September.

454

G. v. d. Borne,

Nummer	Datum	Charakter	Phasen	Zeiten (Greenwich)	Perioden	Amplituden		Dauer	Bemerkungen
						A_E	A_N		
10	13	I r	JP JS (EL) u. M	8 ^h 5 ^m 6 ^s 7 ^m 40 ^s 9 ^m 10 ^s	4 ^s 4 ^s $\left\{ \begin{array}{l} 12^s \\ 2^s \end{array} \right.$ $\left\{ \begin{array}{l} 5^s \\ 6^s \end{array} \right.$	0,8 ^u 1,2 ^u 6 ^u 0,8 ^u	(0,1) ^u 0,8 ^u 7 ^u 0,4 ^u	JP - JS = 2 ^m 34 ^s JP - F = 30 ^m	Die NS-Componente von P kaum merklich. L wenig hervortretend. Erdbeben in Mittelrumänien. $\Delta_0 = 1400$ km, $\Delta_c = 1400$ km.
11	13	II r	C F	8 ^h (35) ^m					
11	13		JP JS EL M F	15 ^h 33 ^m 10 ^s 38 ^m 2 ^s 39 ^m (12) ^s 44 ^m 16 ^h 40 ^m	3 ^s 6 ^s 16 ^s 14 ^s	1 ^u 4 ^u 20 ^u 45 ^u	0,5 ^u 4 ^u 10 ^u 40 ^u	JP - JS = 4 ^m 52 ^s JP - F = 65 ^m	
12	13	I r	(JP) (JS) EL u. M	19 ^h 1 ^m (0) ^s (6) ^m 10 ^m (0) ^s	4 ^s 4 ^s 14 ^s 6 ^s	0,4 ^u 0,2 ^u 6 ^u	0,2 ^u 0,4 ^u 4 ^u	JP - JS = (5 ^m) JP - EL = (9) ^m	Dem vorigen Beben ähnlich, aber schwächer.
13	14	I u	E M F	19 ^h (23) ^m					
13	14		E M F	13 ^h (20) ^m $\frac{23}{2}$ ^m	15 ^s 15 ^s	0 ^u 4 ^u	0 ^u 25 ^u	E - F = 27 ^m	
14	18		I	13 ^h (47) ^m					Zwischen 10 ^h 40 ^m und 11 ^h 20 ^m in EW undeutliche Wellen T = 10s; Erdbeben? Pulsationen?

Nummer	Charakter	Zeiten (Greenwich)	Phasen	Perioden	Amplituden		Dauer	Bemerkungen
					T	A _E		
15 20	I							
16 23	Ir	(J) EL u. M ₁	1 ^h 46 ^m 25 ^s 51 ^m 5 ^s	3 ^s { 20 ^s 5 ^s	1 ^μ 25 ^μ 0,8 ^μ 15 ^μ	0,5 ^μ 15 ^μ 0,4 ^μ 8 ^μ		Gegen 12 ^{1/2} h in EW etwas stärkere Bewegung, aus den Pulsationen auftauchend.
17 23	I	M ₂ C F	53 ^m 30 ^s	12 ^s 9 ^s ; 3 ^s				1 ^{3/4} h Erdbeben in Algier und auf den Kanarischen Inseln.
18 25	Iu	J(P) EL u. M ₁ M ₂	2 ^h 16 ^m 9 ^h 54 ^m 55 ^m	{ 15 ^s 5 ^s 10 ^s 9 ^s ; 5 ^s	4 ^μ 1,5 ^μ 6 ^μ	4 ^μ 1 ^μ 6 ^μ		(J) - EL = 4 ^m 40 ^s (J) - F = 29 ^m
19 27	I	C F	10 ^h 10 ^m					E - F = 16 ^m
20 28	I	J(P) EL u. M ₁ M ₂	1 ^h 22 ^m 40 ^s 40 ^{1/2} ₂ ^m 47 ^{1/2} ₂ ^m	3 ^s 14 ^s 10 ^s 9 ^s	(0,1 ^μ) 4 ^μ 7 ^μ	1,5 ^μ 4 ^μ		J(P) - EL = 17 ^m (50) ^s J(P) - F = 49 ^m
			2 ^h (12) ^m					In EW Bewegung schon von 15 ^{3/4} h merklich.
			15 ^h 50 ^m 16 ^h 10 ^m	14 ^s	4 ^μ	3		NS-Componente fehlt infolge Versagens der Schreibvorrichtung.
			16 ^h 25 ^m 16 ^h 40 ^m	6 ^s 12 ^s	0,8 ^μ 4 ^μ			E - F = 15 ^m

1903 October.

Nummer	Datum	Charakter	Phasen	Zeiten (Greenwich)	Perioden	A_x	A_y	Dauer	Bemerkungen	
1	3		E	21h 23m					Undeutliche Wellen von ca. $\frac{1}{2}$ m Periode tauchen aus den Pulsationen auf. Es erscheint zweifelhaft, ob es sich um Beben oder nur um pulsatorische Er- scheinungen handelt.	
2	4		F	22h 40m					Einige undeutliche Wellen in EW.	
			E	6h 36m						
			F	6h 40m						
3	11		M	5h 27m						
			F	5h 55m						
4	14		E	4h 43m					$JP_1 - JS = 6^m 53^s$	
			F	4h 46m					$JP_1 - F = 42^m$	
									$\frac{1}{2}^s$	
									$\frac{1}{4}^s$	
5	19	I u	JP_1 $J(S^2)$	3h 14m 7s	$(3)^s$	1^s			Die späteren Phasen sind dem Schema — wohl infolge der mehr- fachen Einsätze — nicht einzu- ordnen. Für NS befindet sich das Maximum der Bewegung etwa bei 3h 31m mit $T = 21^s$, $A_N = 25^s$.	
			C	16m $(20)^s$	3^s	5^s			In EW kommen Wellen von so langer Schwingungsdauer über- haupt nicht vor und es fehlt hier ein ausgesprochenes Maximum der Bewegung.	
			F	21m (0)s	3^s					
				3h (55)m	6^s ; 8^s					

1903 October.

Charakter	Datum	Zeiten (Greenwich)	Perioden	Amplituden	Dauer	Bemerkungen	
Phasen				A_x	A_y		
			T	A_x	A_y		
I(u)	6 20	JP E(L) u. M _E M _N C F	3h 9m 50s 57m 4h 7m 4h (54)m	2s 40s 30s (15)s	0,5 ^u 20 ^u 5 ^u 30 ^u	$JP - E(L) = 47^m 10^s$ $JP - F = 104^m$	Vielleicht gehören JP und E(L) zu zwei verschiedenen Beben.
I(v)	7 21	JP M F	7h 26m 18s 27m 4s 28m 12s	1s 3s	0,2 ^u 1,2 ^u	$JP - F = 1^m 54^s$	JP an das vorige Beben erinnernd, aber ohne die dort nachfolgenden langen Wellen.
I.u	8 21	(JP) EL u. M _E M _N C F	10h 13m 45s 46m 53m 11h 40m	3s 35s 21s 10—15s	0,4 ^u 40 ^u 30 ^u 0,2 ^u 30 ^u 35 ^u	$(JP) - EL = (22^m 15^s)$ $JP - F = (86^m)$	Pulsationen machen die Feststellung von JP unsicher.
II.r	9 23	(E) EL u. M C F	3h (4)m $\frac{1}{2}$ m 9s; 3s	7s $\left\{ \begin{array}{l} 25s \\ 7s \\ 3s \end{array} \right.$ 12s	3 ^u 30 ^u 3 ^u 6 ^u 60 ^u 5 ^u	Starke Pulsationen. $E - F = 34^m$	

1903 October.

458

G. v. d. Born e,

Nummer	Datum	Charakter	Phasen	Zeiten (Greenwich)	Perioden	Amplituden		Dauer	Bemerkungen
						A_x	A_y		
10 23	I u	E	EL u. M ₁	14 ^h (24) ^m 31 ^m	2,5 ^s { 12 ^s 4 ^s { 14 ^s (6 ^s —9 ^s)	— 6 ^u 4 ^u 20 ^u	— 4 ^u 20 ^u	E—F = 32 ^m	Bewegungen in L sehr unregelmäßig; besonders in der kurzen Periode starke Schwingungen, Schätzungen der A daher sehr unsicher.
11 24	I (u)	F	M ₂ C	14 ^h (56) ^m	(30) ^s 24 ^s	15 ^u	10 ^u	E—F = 28 ^m	Starke Pulsationen, Auftauchen einiger langer Wellen in NS.
28		E	M	1 ^h 56 ^{1/2} ^m 2 ^h 11 ^{1/2} ^m 2 ^h 25 ^m					
29	I u	J	M	14 ^h 39 ^m 15 ^s 15 ^h 26 ^m	{ 10 ^s { 4,5 ^s { 40 ^s { 10 ^s 20 ^s —25 ^s	3 ^u 3 ^u 50 ^u sehr klein (20) ^u	3 ^u 4 ^u 40 ^u (20) ^u	J—F = 60 ^m	Die Wellenzüge in C sehr regelmäßig.
12 29	I u	C	F	15 ^h (40) ^m	18 ^s	6 ^u	—		
13 29	I u	E	F	19 ^h 45 ^m 20 ^h					

1903 October.

Nummer	Datum	Charakter	Phasen	Z en (Greenwich)	Perioden	Amplituden		Dauer	Bemerkungen
						A_e	A_n		
14	30	I u	(J)	4 ^h 15 ^m 25 ^s	{ 10 ^s 2,5 ^s 15 ^s	3 ^u sehr klein 10 ^u	3 ^u 10 ^u	(J) - F = 55 ^m	Gegen 5 ^h Wellen von über 30s Periode; viele schwache Wellenzüge bilden C.
			M F	6 ^h 10 ^m					

1903 November.

Nummer	Datum	Charakter	Phasen	Z en (Greenwich)	Perioden	Amplituden		Dauer	Bemerkungen
						A_e	A_n		
1	10	I u	E F	18 ^h (15) ^m 19 ^h (10) ^m	(1) ^s			E - F = 55 ^m	Einzelheiten wegen der Pulsationen nicht festzustellen.
2	10	I (v)	J	21 ^h (8 ^{1/2}) ^m					
3	17	I (r)	J M F	5 ^h 56 ^m (0) ^s 6 ^h 2 ^m (0) ^s 6 ^h (10) ^m	(5) ^s 10 ^s	2 ^u 4 ^u	1 ^u 5 ^u	J - F = 14 ^m	Spuren eines Nahbebens in EW.
4	17	I (u)	E F	21 ^h 16 ^m 21 ^h 44 ^m	22 ^s 18 ^s	(15) ^u 10 ^u	10 ^u	F - F = 28 ^m	Es folgen mehrfach an- und abschwellende Wellenzüge T = 15s - 20s, A = Q _u - 10u.
5	18	I (r)	(J) M C F	16 ^h 17 ^m 24 ^m 20 ^s 16 ^h (47) ^m	5 ^s 13 ^s (10) ^s	0,2 ^u 25 ^u	0,8 ^u 20 ^u	(J) - F = 30 ^m	16h 19m Verstärkung der sehr unregelmäßigen Bewegung.

1903 November.

Nummer	Datum	Charakter	Phasen	Zeiten (Greenwich)	Perioden T	Amplituden A_x A_y	Dauer	Bemerkungen															
								J	M	F	E	EL u. M	C	F	JP	JS ₁	JS ₂	M ₁	M ₂	C	F	JP - JS ₁	JP - JS ₂
6 24	I u		J	{ 14 ^h 3 ^m 35 ^s 3 ^m 45 ^s	10 ^s	5 ^u																	
			M	37 ^m	10 ^s	—	10 ^u	10 ^u															
			F	15 ^h (4) ^m	20 ^s	15 ^u	25 ^u																
7 25	Ir		E	23 ^h 23 ^m (0) ^s	2 ^s	0,2 ^u	0,2 ^u																
			EL u. M	23 ^h 23 ^{3/4} ^m	{ 10 ^s	5 ^u	5 ^u																
					{ 2 ^s	4 ^u	4 ^u																
					{ (6) ^s																		
8 26	II u		JP	11 ^h 57 ^m 42 ^s	3 ^s	2 ^u	1 ^u																
			JS ₁	12 ^h 5 ^m 40 ^s	{ 16 ^s	12 ^u	6 ^u																
					{ 4 ^s	1,2 ^u	0,4 ^u																
			JS ₂	9 ^m (10) ^s	18 ^s	4 ^u	4 ^u																
			M ₁	21 ^{3/4} ^m	15 ^s	80 ^u	130 ^u																
			M ₂	24 ^{1/4} ^m	12 ^s	75 ^u	55 ^u																
			C		10 ^s																		
			F	13 ^h (25) ^m																			

J in beiden Componenten deutlich, weitere Details durch Pulsationen verdeckt.

$$\text{E} - \text{F} = 13^{\text{m}}$$

$$\text{JP} - \text{JS}_1 = 7^{\text{m}} 58^{\text{s}}$$

$$\text{JP} - \text{JS}_2 = (11,5)^{\text{m}}$$

Erdbeben im mittleren Sibirien
11^{3/4}^h. Ein ausgesprochener Einsatz

langer Wellen fehlt, statt dessen zwischen JS₂ und M₁ sehr unregelmäßige Bewegung, T zwischen 4s und 14s schwankend, im weiteren Verlauf des Bebens zeigt sich noch mehrfach ein erheblicher Wechsel der Amplituden.

1903 December.

Nummer	Datum	Charakter	Phasen	Zeiten (Greenwich)	Perioden T	Amplituden		Dauer	Bemerkungen
						A_E	A_N		
1	1	I u	E EL u. M_E M_N C F	7 ^h 7 ^m 30 ^s 7 ^h 13 ^m 30 ^m	15 ^s 30 ^s 24 ^s 18 ^s —20 ^s	4 ^u 15 ^u 25 ^u	7 ^u 20 ^u 20 ^u	$E - F = 57^m$	Die Anfangsstadien gehen in Pulsationen verloren.
2	1	I u	M_1 M_2	15 ^h 5 ^{1/2} ^m 10 ^m	32 ^s 18 ^s 10 ^s	25 ^u 10 ^u 1 ^u	25 ^u 10 ^u 1 ^u	$EL - F = 23^m$	
3	3	I(r)	E(L) M C F	9 ^h 36 ^{1/2} ^m 40 ^{1/2} ^m	30 ^s 20 ^s 15 ^s	10 ^u 15 ^u	10 ^u 15 ^u	$J - F = 56^m$	Ein ausgesprochenes EL fehlt. C recht unregelmäßig (Pulsationen).
33*	4	I u	J M C F	5 ^h 17 ^m 10 ^s 36 ^m 0 ^s 6 ^h (13 ^m)	6 ^s 1 ^s 33 ^s 10 ^s —12 ^s	1 ^u 30 ^u	2 ^u 20 ^u	$J - F = 56^m$	

1903 December.

462

G. v. d. Borne,

Nummer	Datum	Charakter	Phasen	Zeiten (Greenwich)	Perioden	Amplituden		Dauer	Bemerkungen
						A_E	A_N		
5	5	(I)	M	23 ^h 9 ^{1/2} ^m	15 ^s	7 ^u	7 ^u		
5	6/7	I u	J(S) M C F	23 ^h (26) ^m 43 ^{1/2} ^m 0 ^h (12) ^m	25 ^s 35 ^s 10 ^s —15 ^s	12 ^u 50 ^u	12 ^u 20 ^u	J(S) — F = 23 ^m	Einige Wellen, Erdbebenatur unsicher.
6	7	I u	E M C F	15 ^h 16 ^m 48 1/2 ^m 16 ^h (28) ^m	20 ^s 22 ^s 18 ^s	10 ^u 100 ^u	10 ^u 50 ^u	E — F = 72 ^m	C recht unregelmäßig.
7	10	II u	(JP) JS	17 ^h 10 ^m 35 ^s 17 ^m 50 ^s	{ 3 ^s { 10 ^s	3 ^u 15 ^u	2 ^u 5 ^u	JP — JS = (6 ^m 15 ^s)	Starke Pulsationen machen die Bestimmung von JP unsicher.
			E(L) u. M	28 ^m	{ 5 ^s { 35 ^s	2 ^u 150 ^u	2 ^u 0,8 ^u	JP — E(L) = 17 ^m 25 ^s	
			C		{ 7 ^s ; 10 ^s ; 15 ^s { 22 ^s	200 ^u 0,4 ^u			
			F	18 (24) ^m				JP — F = 68 ^m	
8	18	I u	EL u. M F	13 ^h 19 ^{1/2} ^m 13 ^h 43 ^m	(30) ^s	15 ^u	27 ^u	EL — F = 23 ^m	

1903 December.

Nummer	Datum	Charakter	Phasen	Zeiten (Greenwich)	Perioden T	Amplituden		Dauer	Bemerkungen
						A_x	A_y		
9 23	I u	J(S)	1 ^h 22 ^m 10 ^s		$\begin{cases} 2^s \\ 5^s \\ (10)^s \\ 18^s \\ 20^s; 10^s; 6^s \end{cases}$	2^u	3^u	$J(S) - F = 70^m$	Bewegung, besonders von 1 ^h 44 ^m ab sehr unregelmäßig; die Periode $T = 18^s$ erreicht bis zu 20^u Amplitude in beiden Komponenten; später Wellen bis zu 30 ^s Periode. Auffällig ist die große Intensität der kurzen Perioden im Anfange des Bebens.
		J	44 ^m			4^u	4^u		
		C							
10 28	II u	JP	3 ^h 10 ^m 5 ^s		$\begin{cases} 3^s \\ 20^m 30^s \\ 44^m 0^s \\ 52^m 0^s \\ 58^m 30^s \end{cases}$	$1,2^u$	$0,4^u$	$JP - JS = 10^m 25^s$	$JP - E(L) = 33^m 55^s$ $JP - F = 74^m$
		JS				$0,4^u$	$1,2^u$		
		E(L)							
		M _N							
		M _R							
		C							
		F							

Uebersicht über die Intensität der Mikroseismischen
Pulsationen zu Göttingen. 1904 Juli 5—December 31.
(Vgl. Seite 442).

Tag	M o n a t					
	Juli	August	September	October	November	December
1		I	I	I	I	II
2		I	I	I	I	II
3		I	I	II	II	II
4		I	I	III	II	II
5	I	I	I	III	I	II
6	I	I	I	III	I	II
7	I	I	I	III	I	IV
8	I	I	I	II	II	IV
9	I	I	II	II	II	IV
10	I	I	II	III	II	IV
11	I	I	I	III	II	III
12	I	I	II	III	II	IV
13	I	I	II	III	II	III
14	I	I	I	II	II	III
15	I	I	I	II	III	III
16	I	I	I	II	II	III
17	I	I	I	II	I	III
18	I	I	II	I	I	III
19	I	I	I	I	I	I
20	I	I	I	I	II	II
21	I	I	I	I	IV	III
22	I	I	I	I	IV	IV
23	I	I	I	I	III	IV
24	I	I	I	I	III	III
25	I	I	I	III	II	II
26	I	I	I	III	II	II
27	I	I	II	II	III	II
28	I	I	II	II	III	III
29	I	I	II	II	II	III
30	I	II	I	II	III	III
31	I	II		II		III

Ab4a

Fig. 1. E.W. (azimuth N)

Fig. 1 N.S.

\downarrow
 $12^h 22^m 38^s$

Fig. 3.

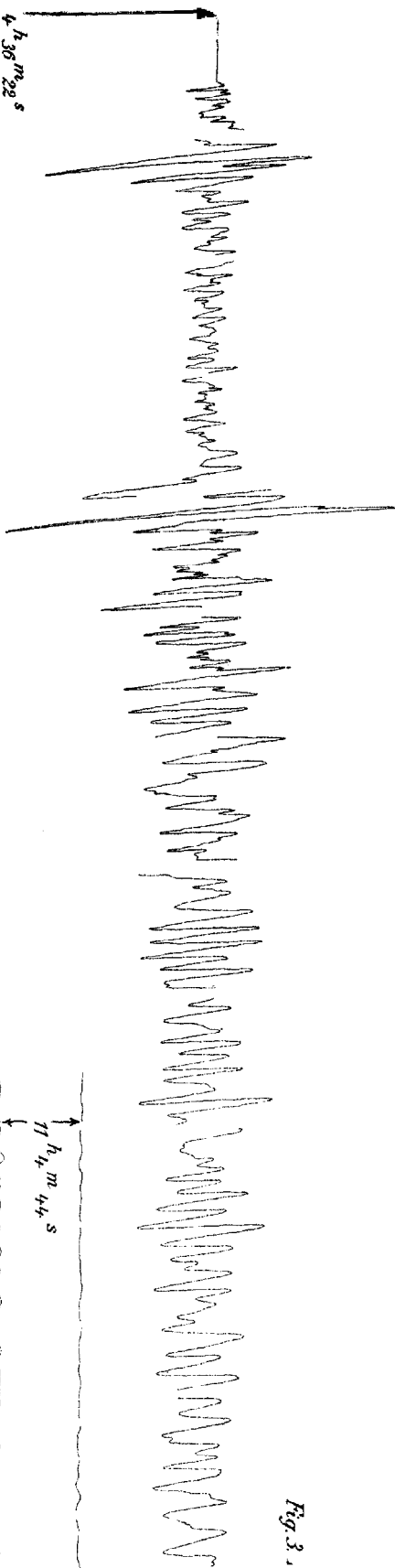


Fig. 3 N

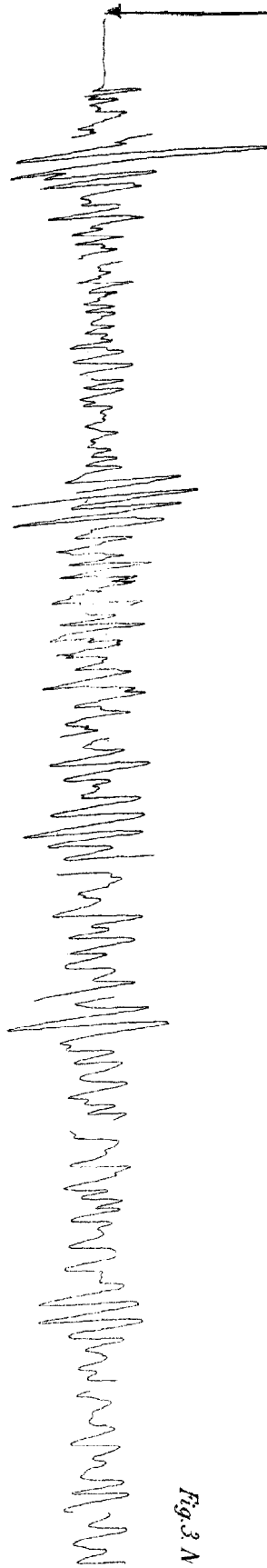


Fig. 4. E

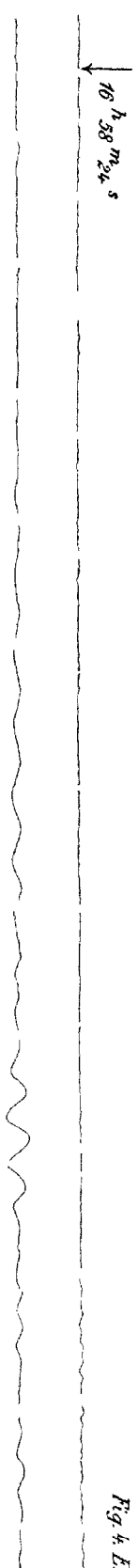


Fig. 4. A

\downarrow
 $16^h 58^m 24^s$

4646

Fig. 5. E.W. (as November 8.)

Fig. 5. N.S.



Fig. 3. E.W. (as August 11.)

Fig. 2. E.W. (as July 27.)

Fig. 2. N.S.

Fig. 3. N.S.

Fig. 4. E.W. (as August 12.)



Fig. 4. N.S.

